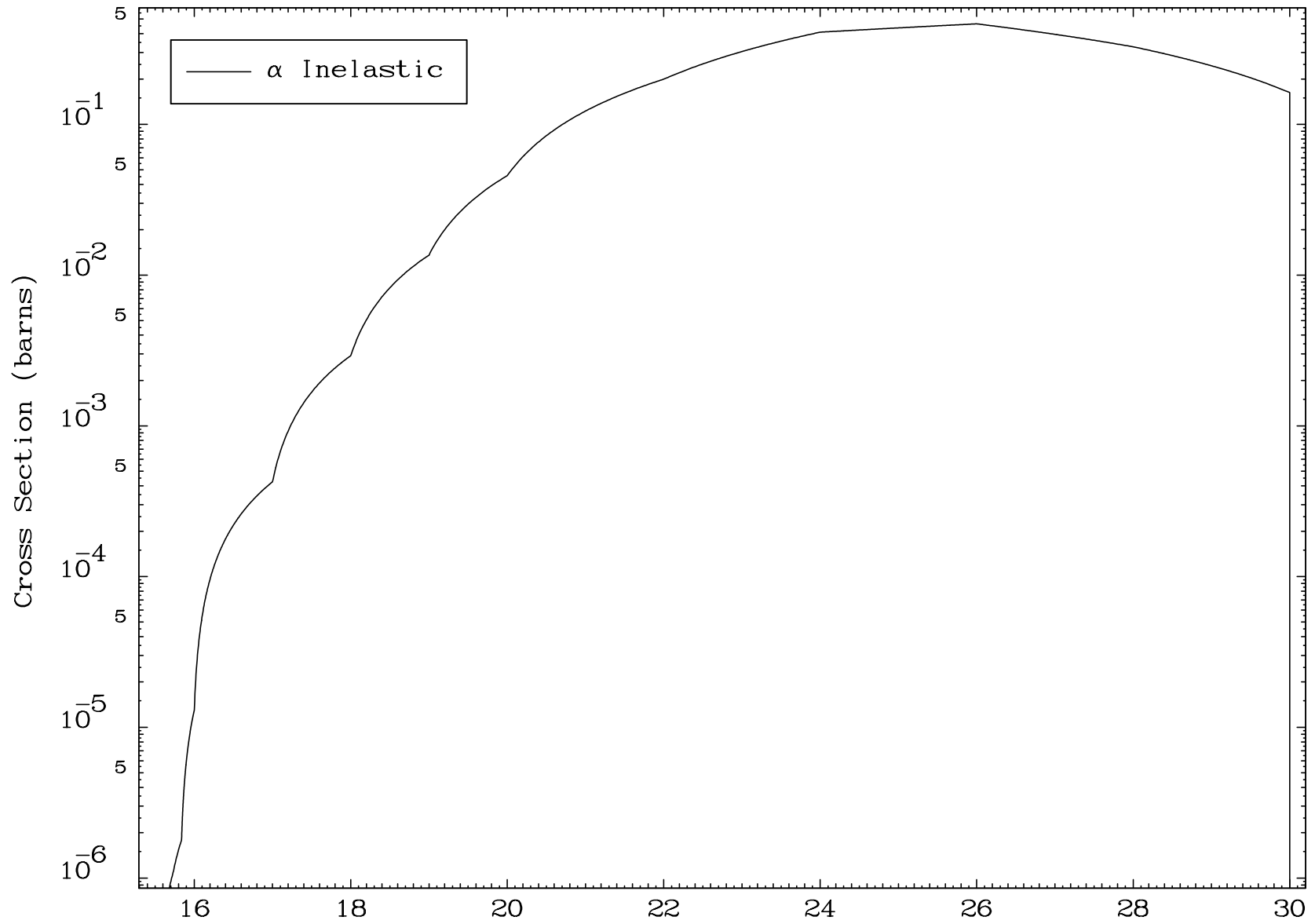


MAT 7889

(α, n') Level
0 Kelvin Cross Sections

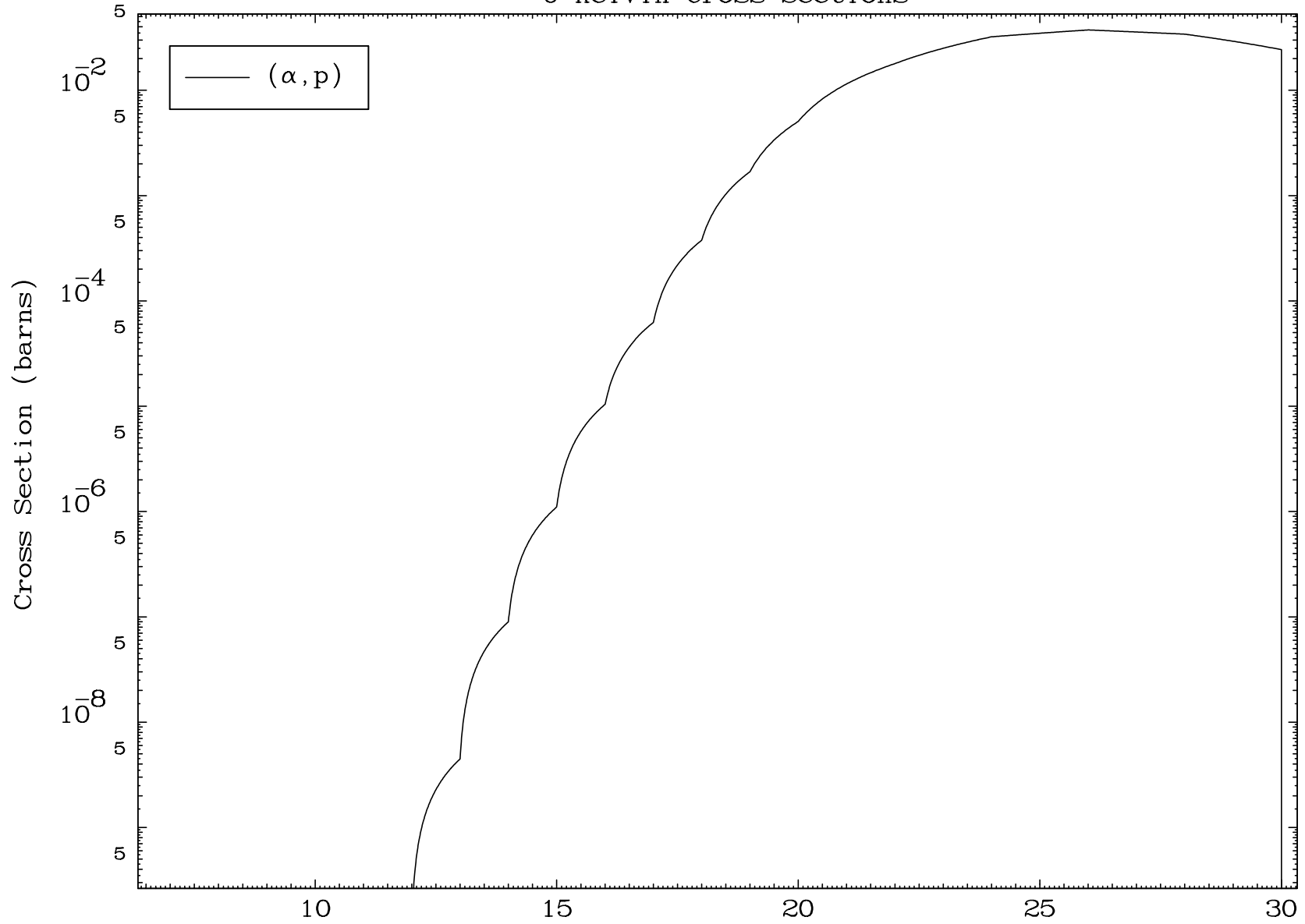
79-Au-185

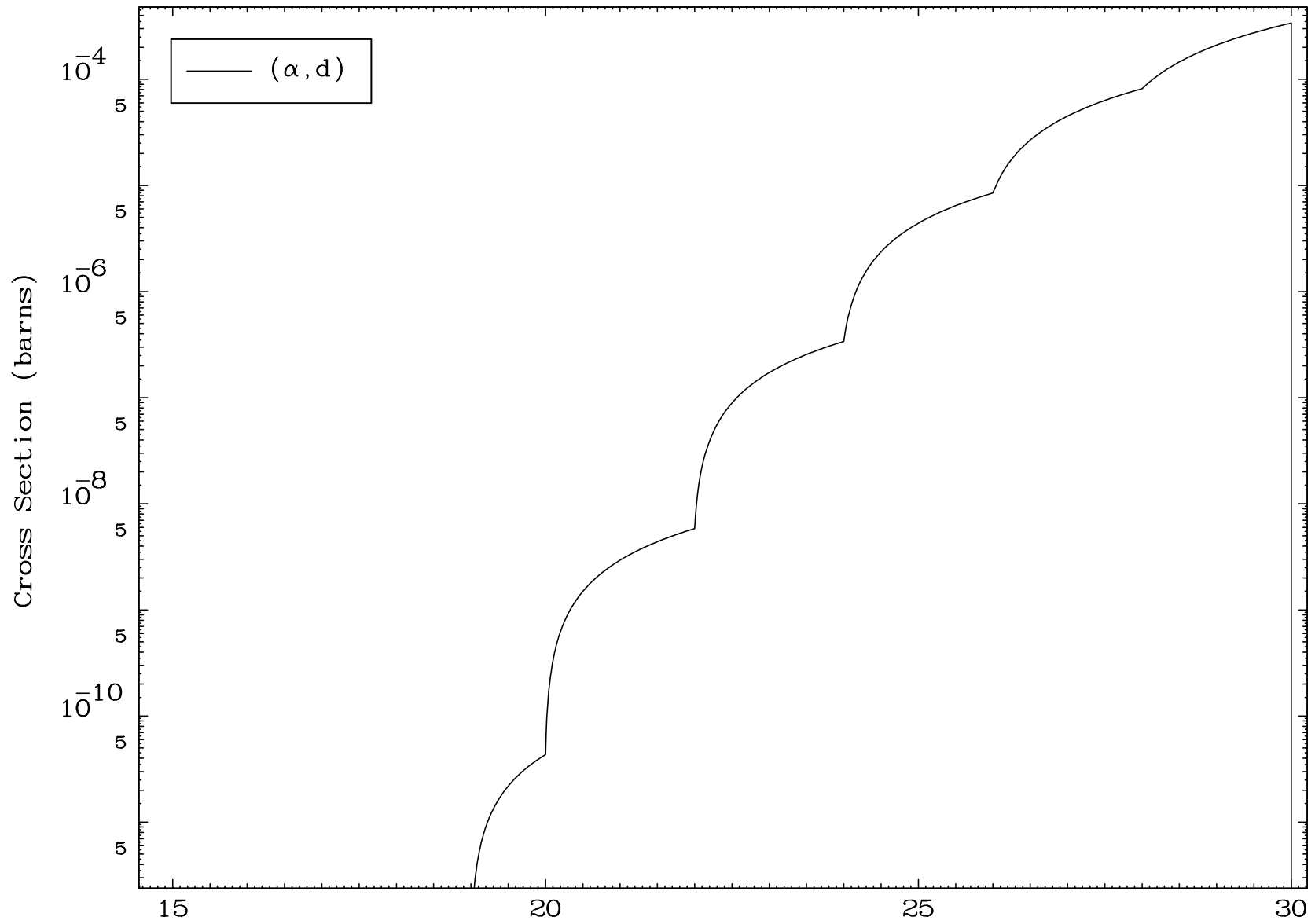


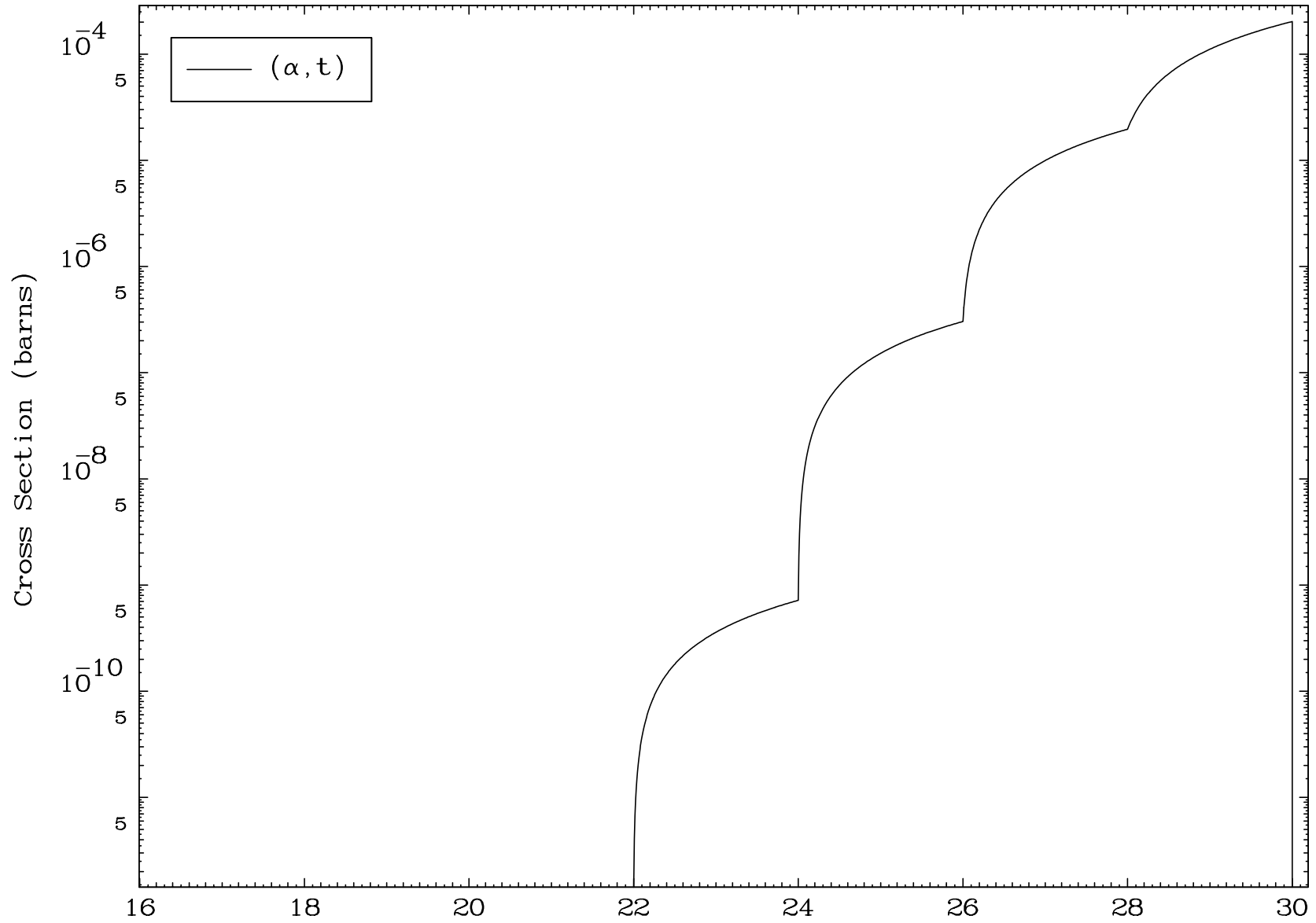
5

Incident Energy (MeV)

79-Au-185



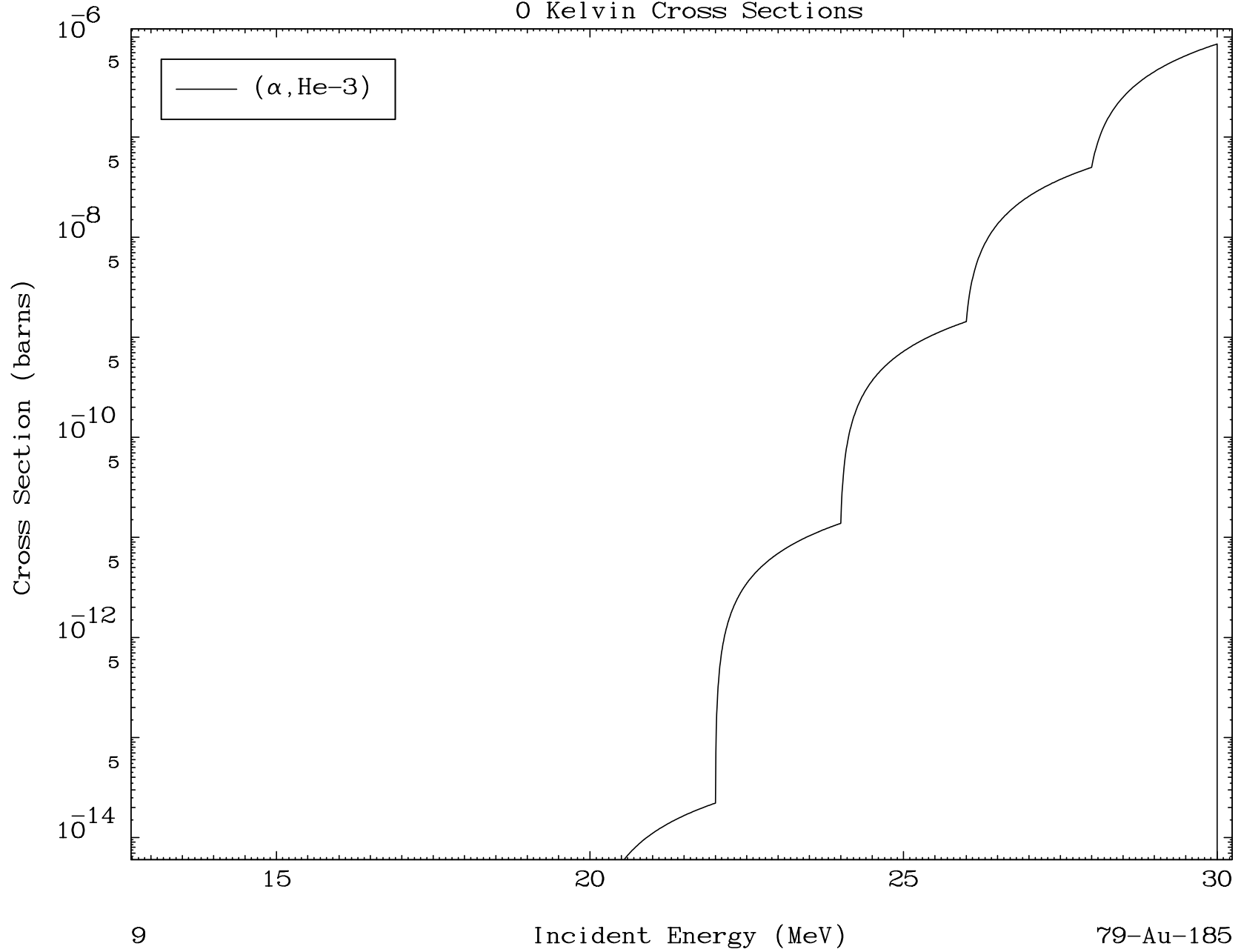




MAT 7889

(α ,He3) Levels
0 Kelvin Cross Sections

79-Au-185



9

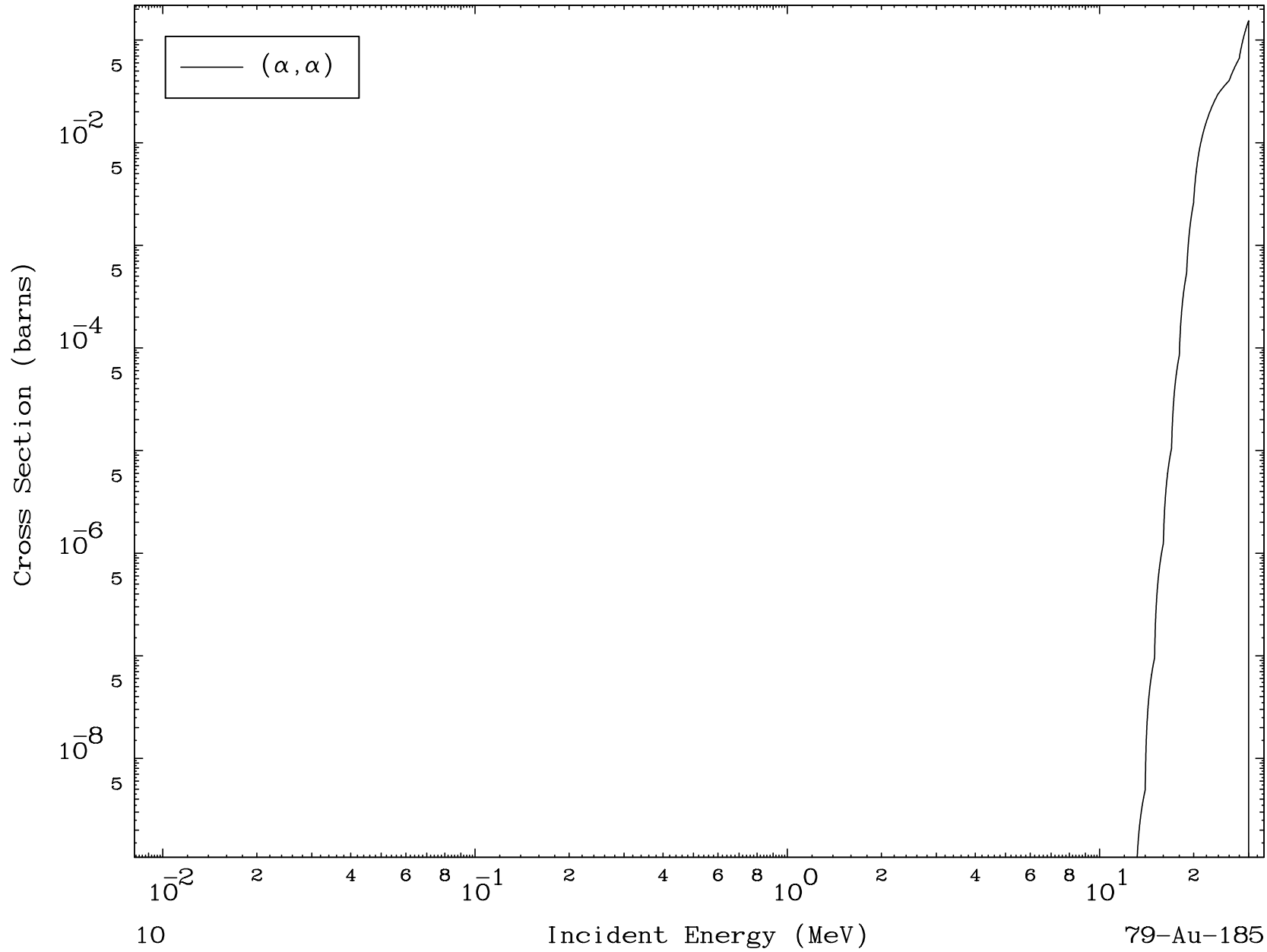
Incident Energy (MeV)

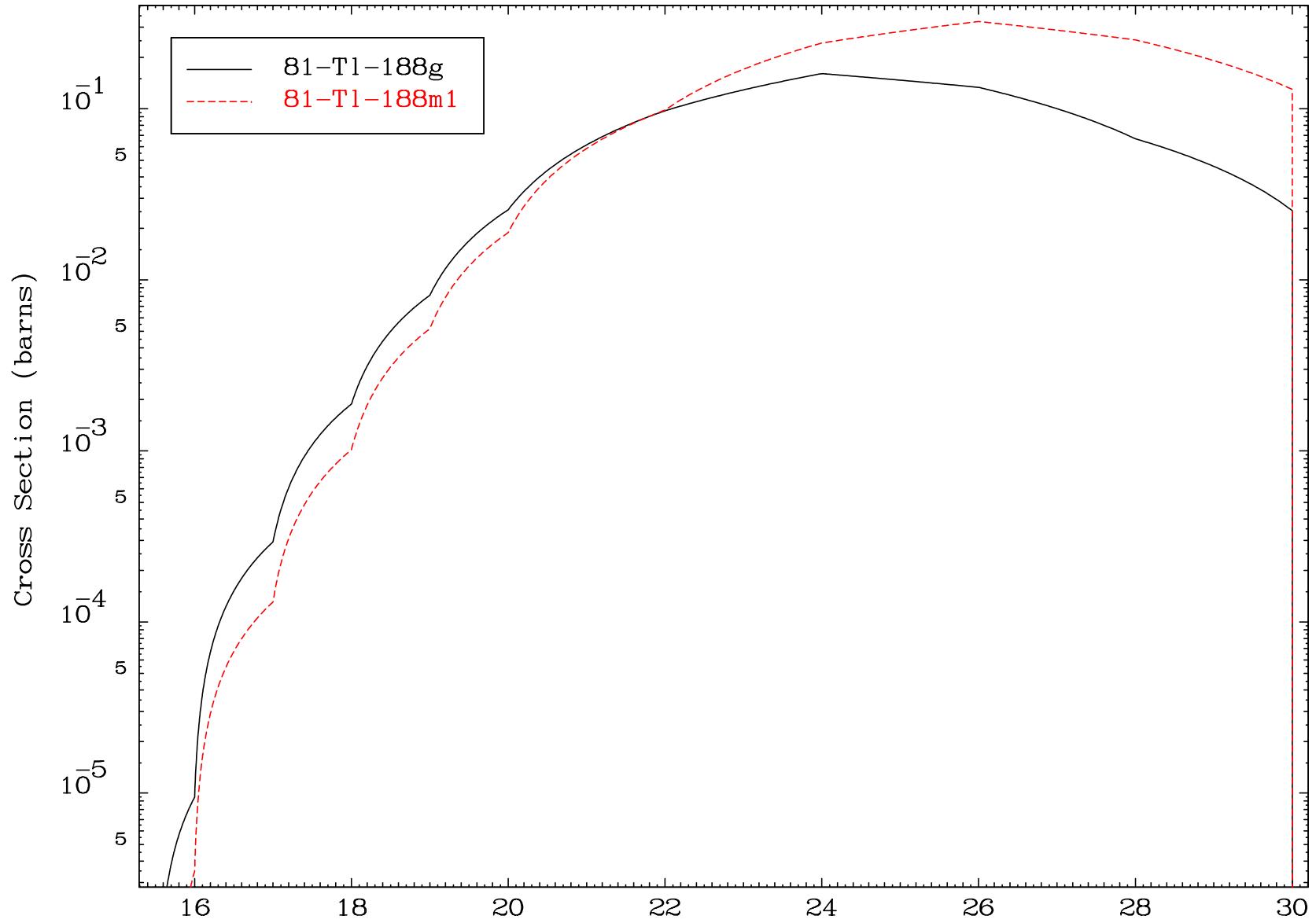
79-Au-185

MAT 7889

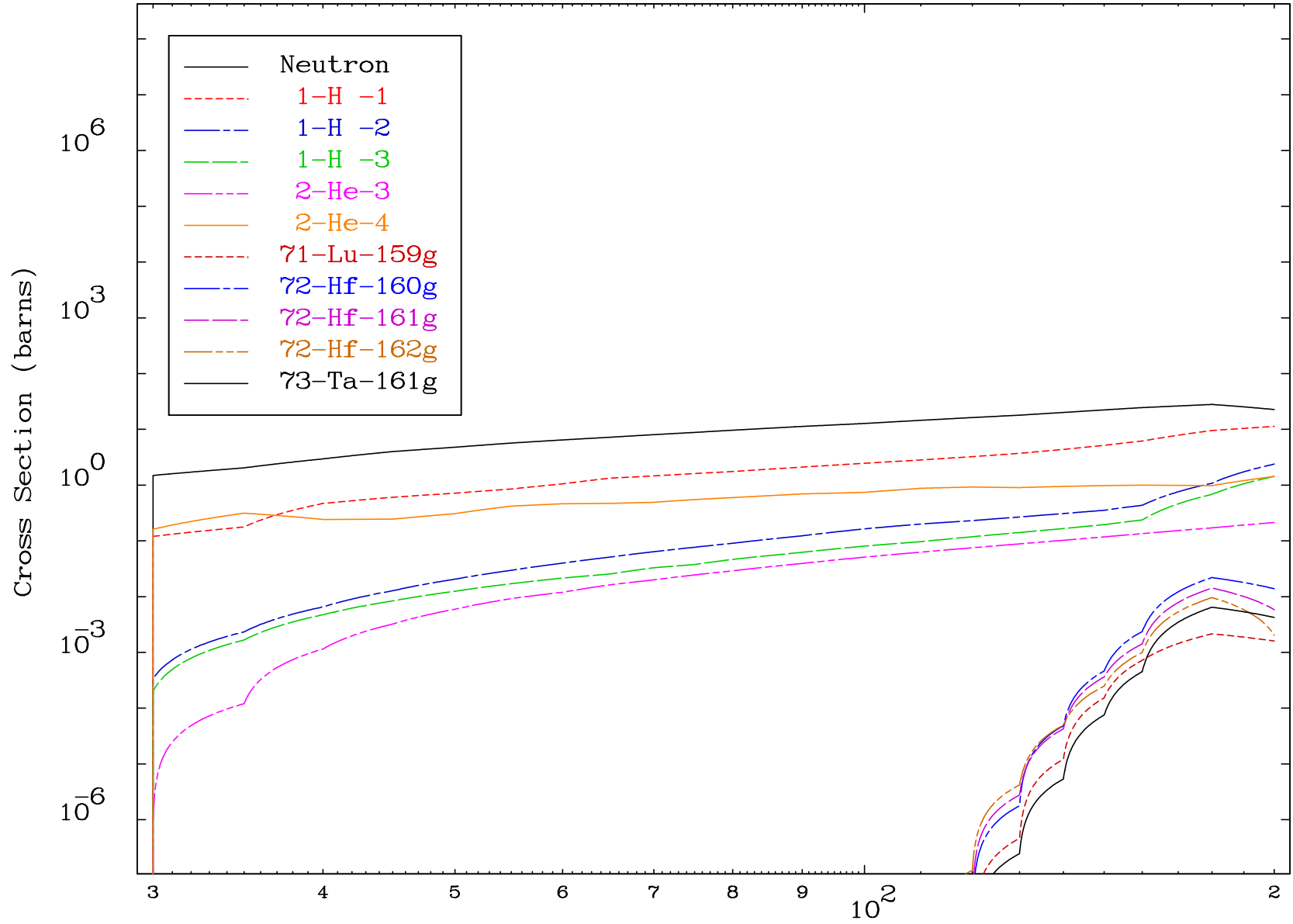
(α, α) Levels
0 Kelvin Cross Sections

79-Au-185

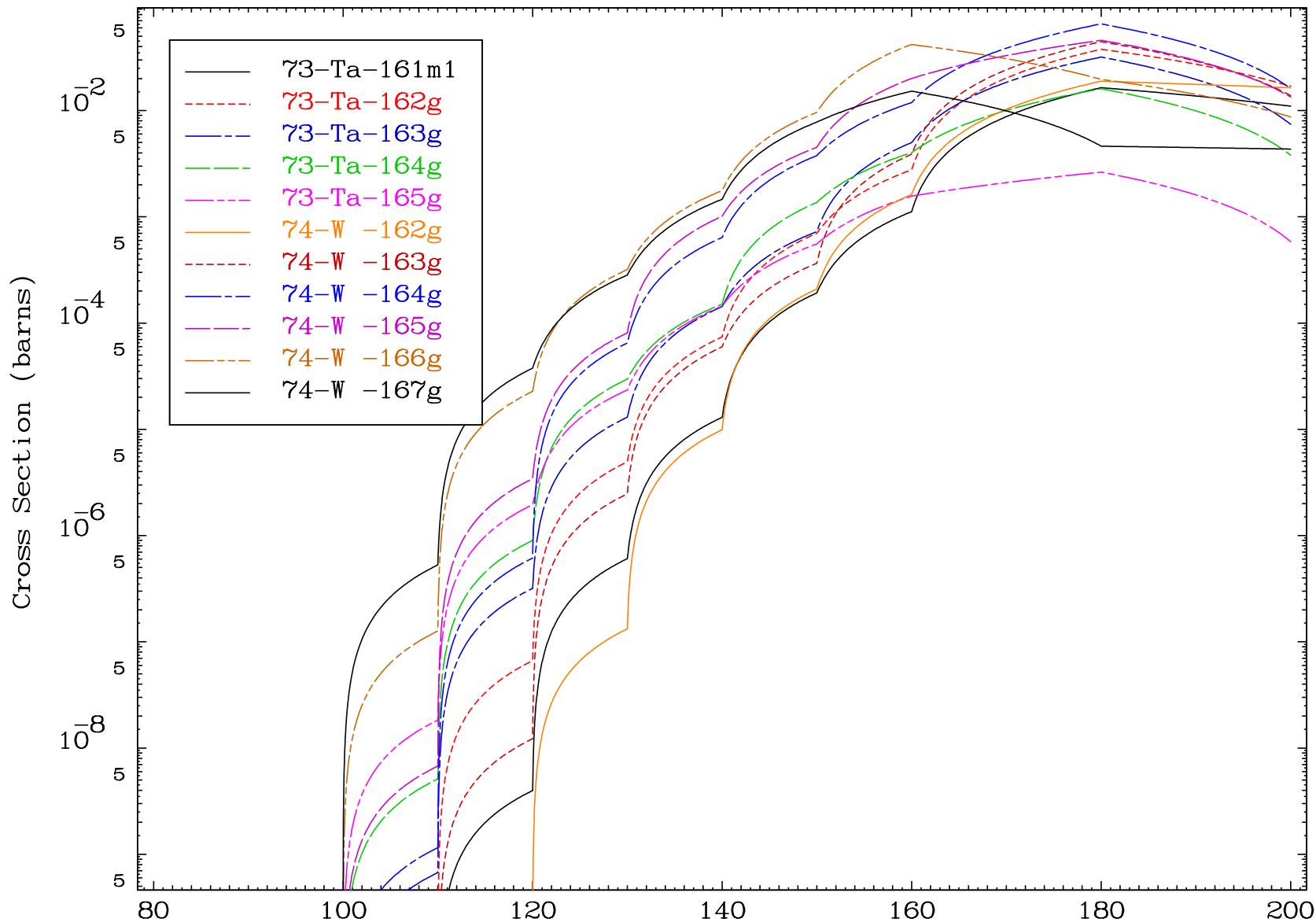




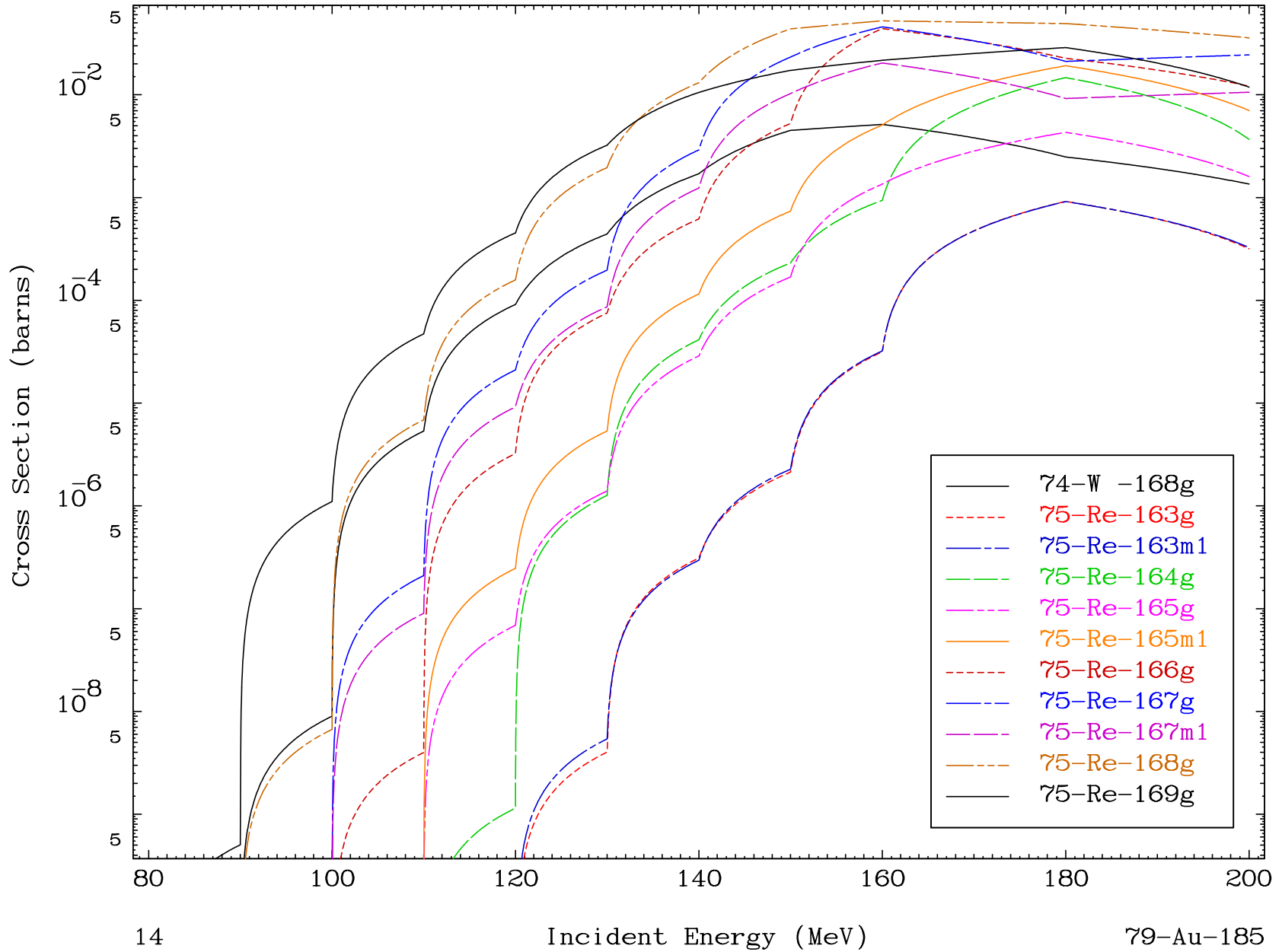
Radionuclide Production Cross Section



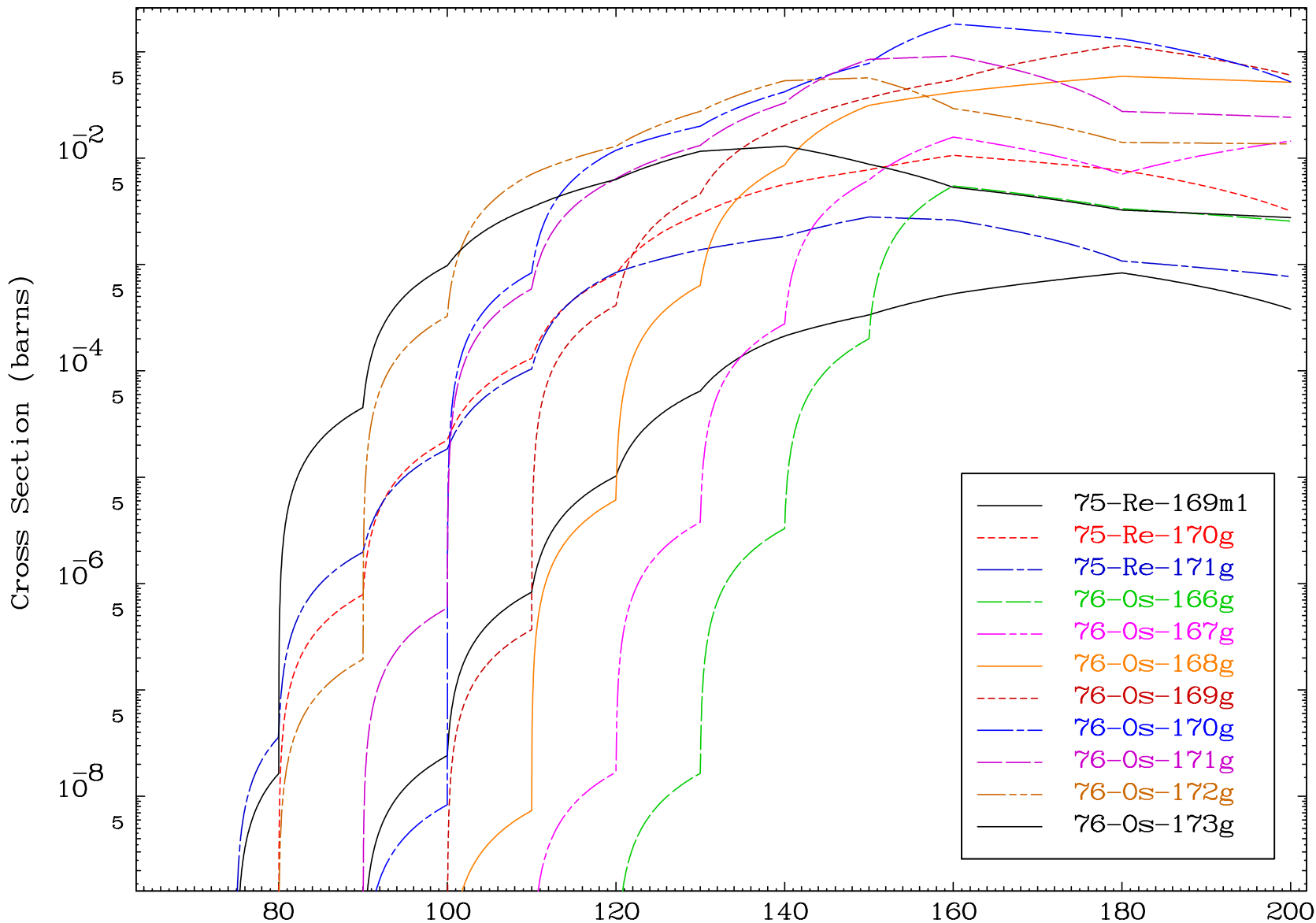
Radionuclide Production Cross Section

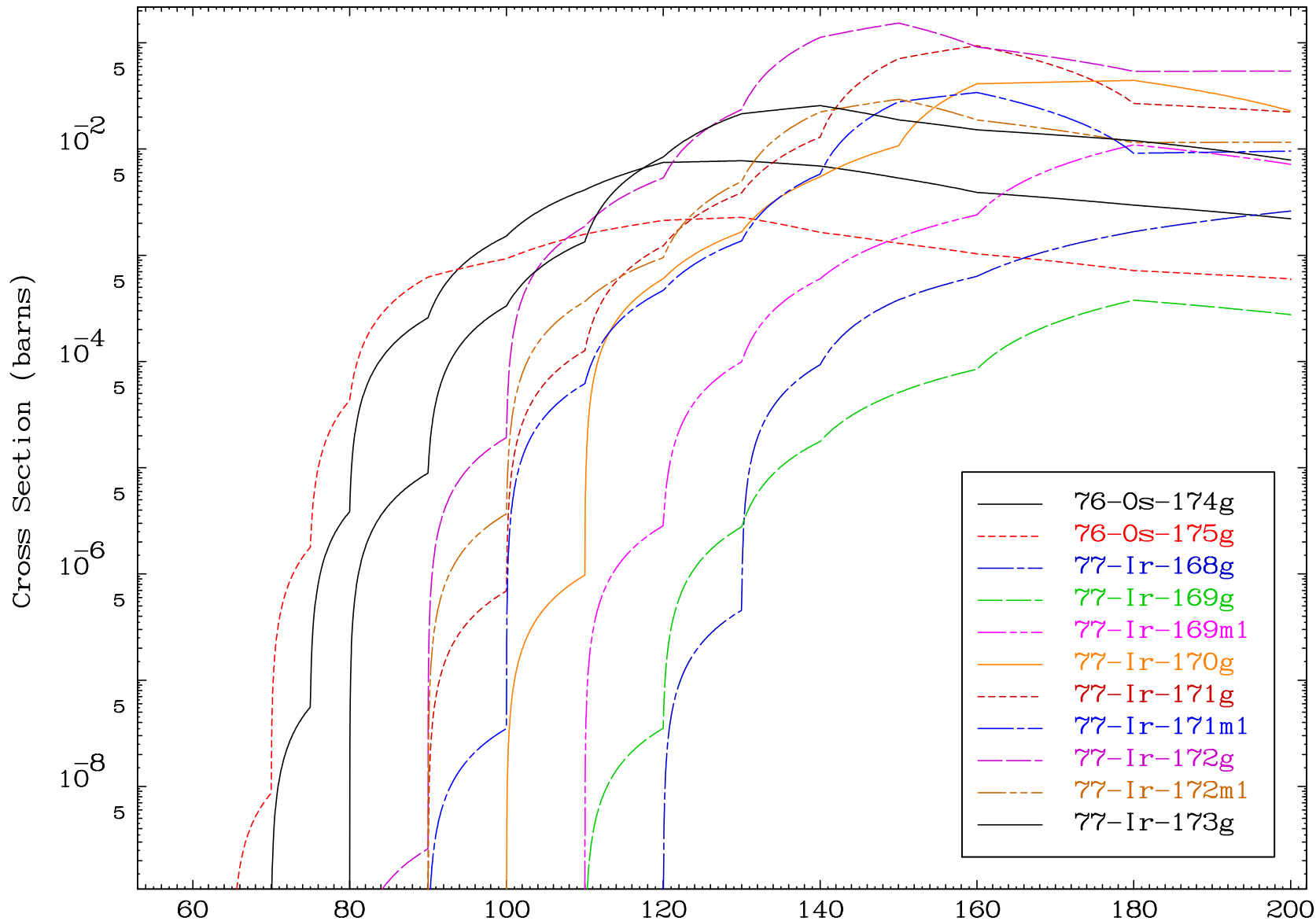


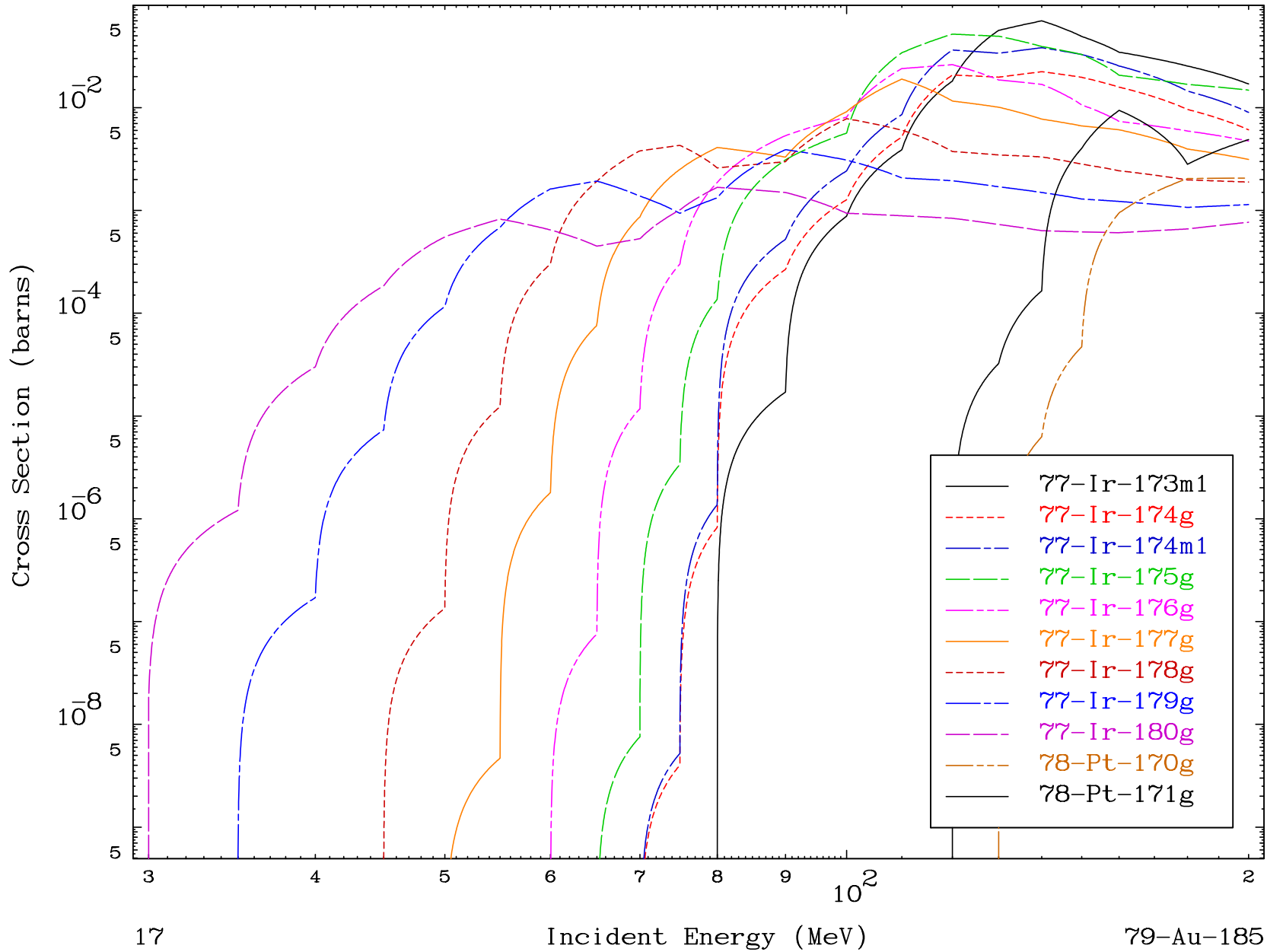
Radionuclide Production Cross Section



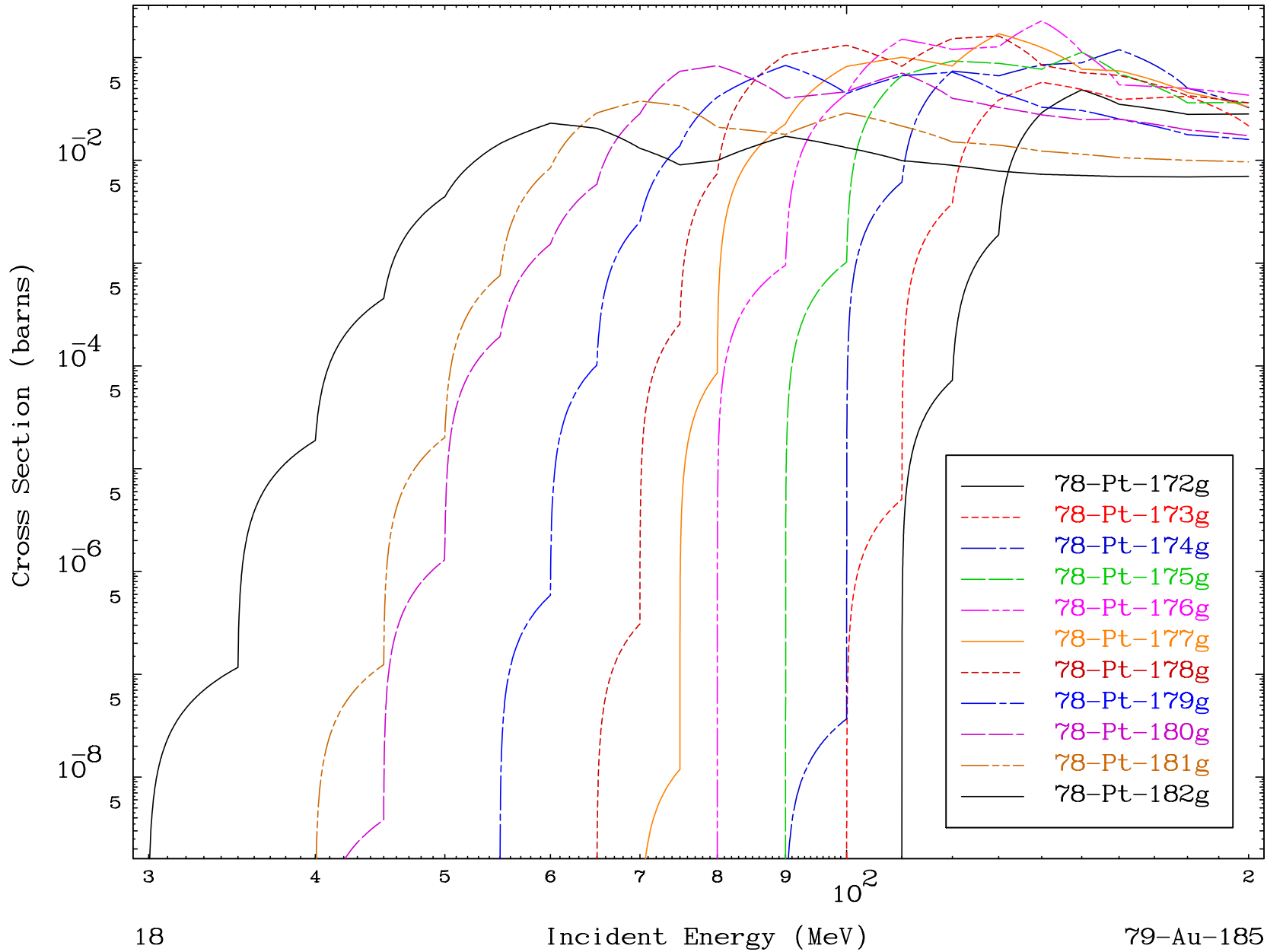
Radionuclide Production Cross Section



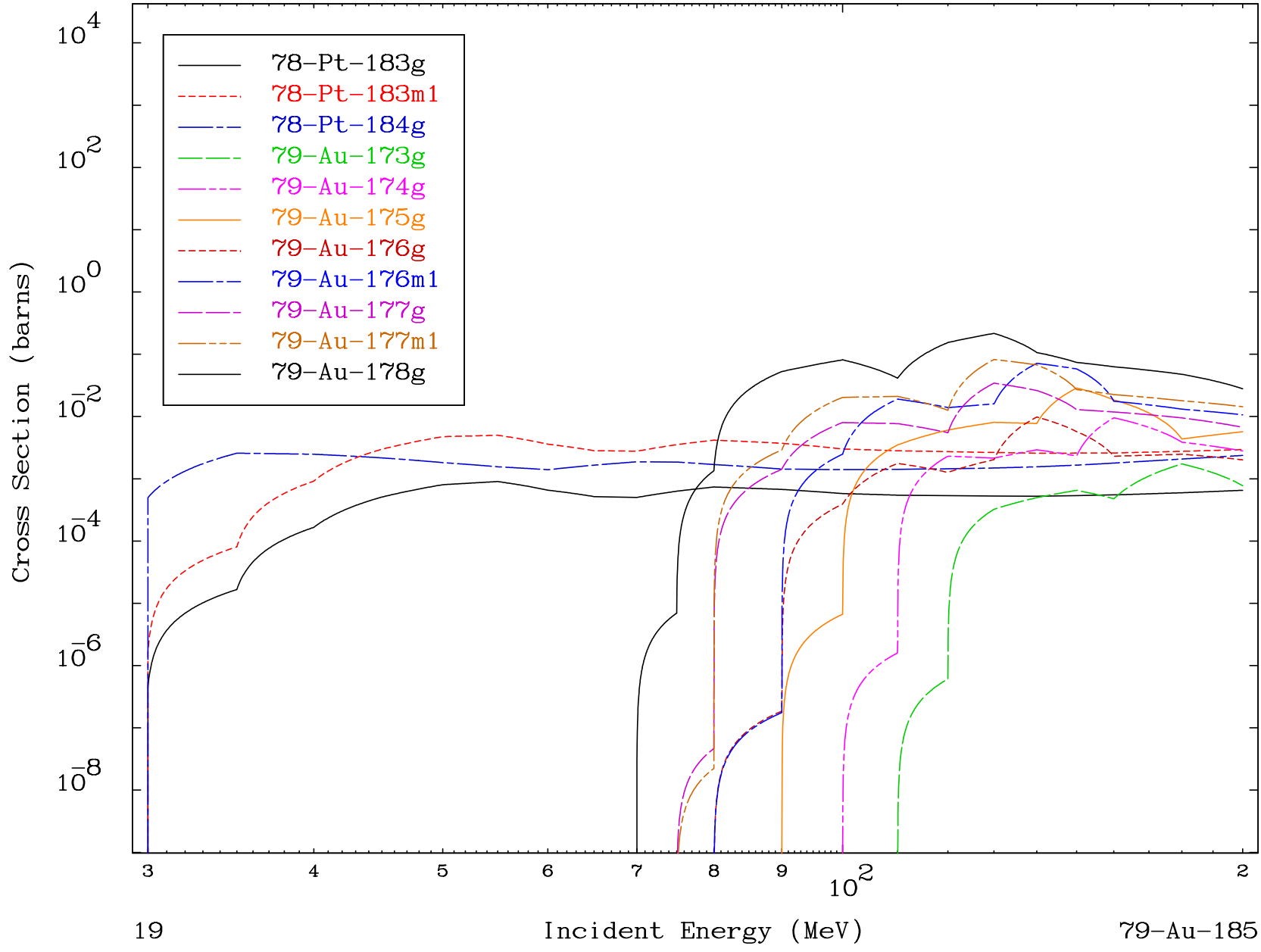




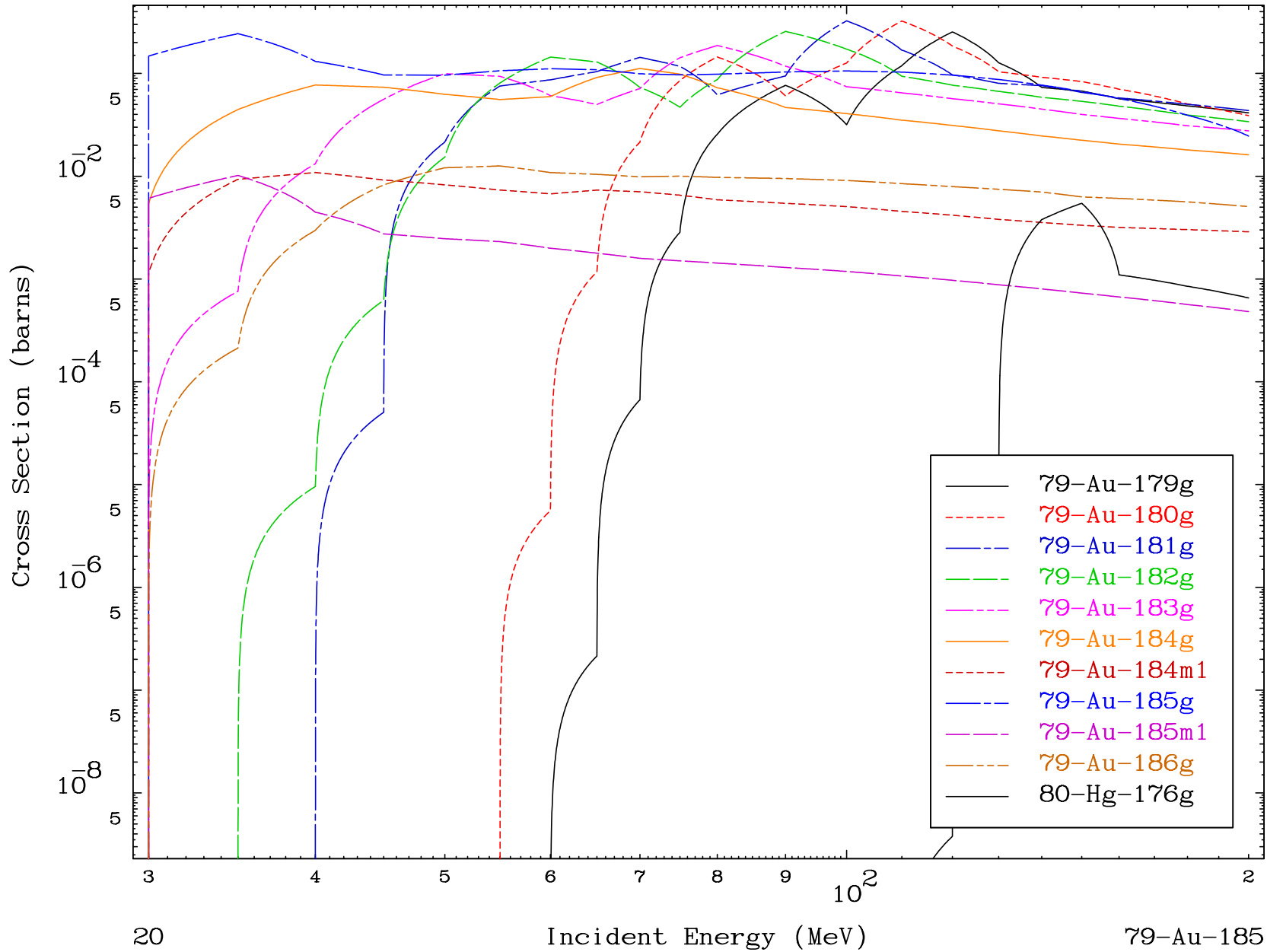
Radionuclide Production Cross Section

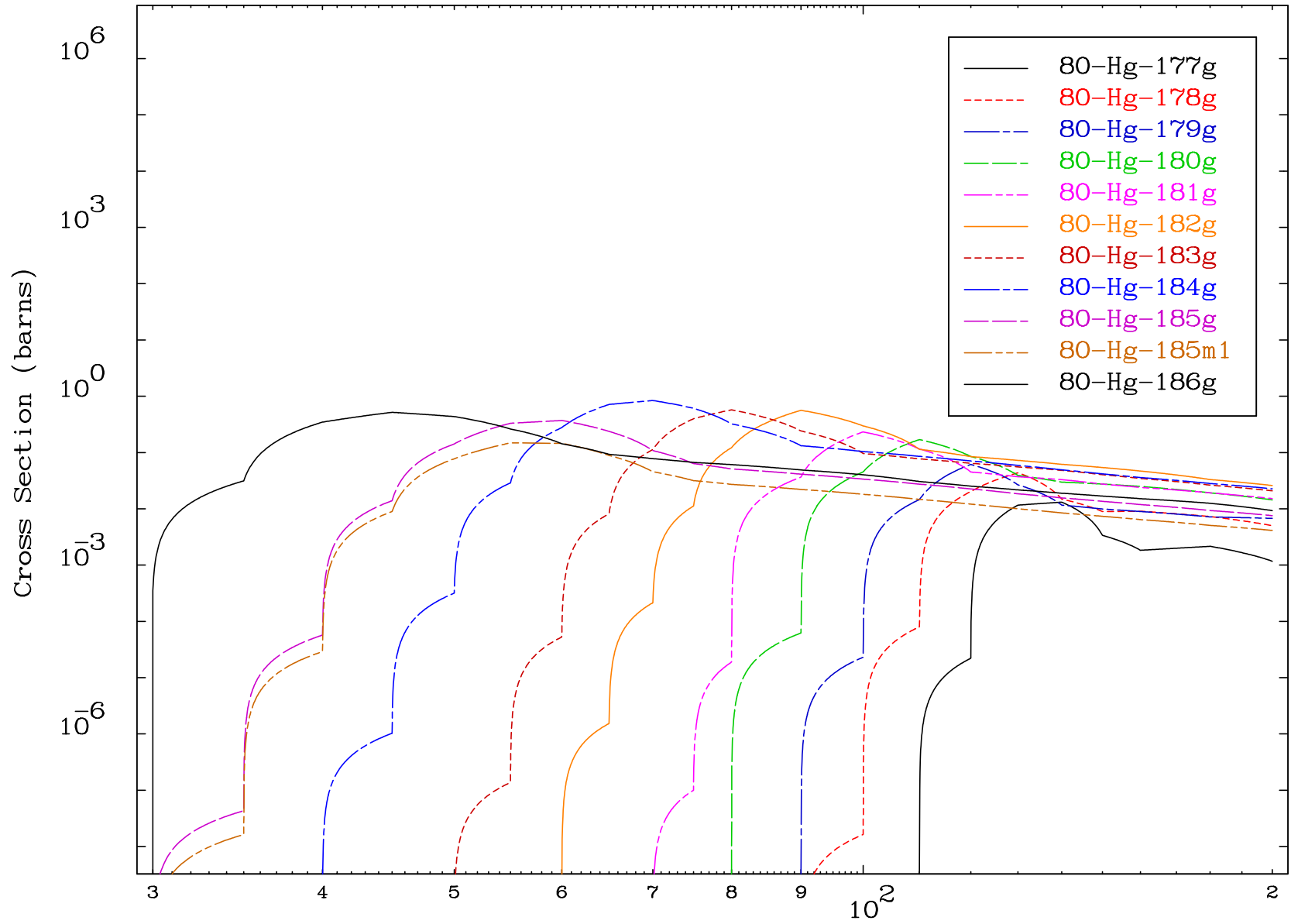


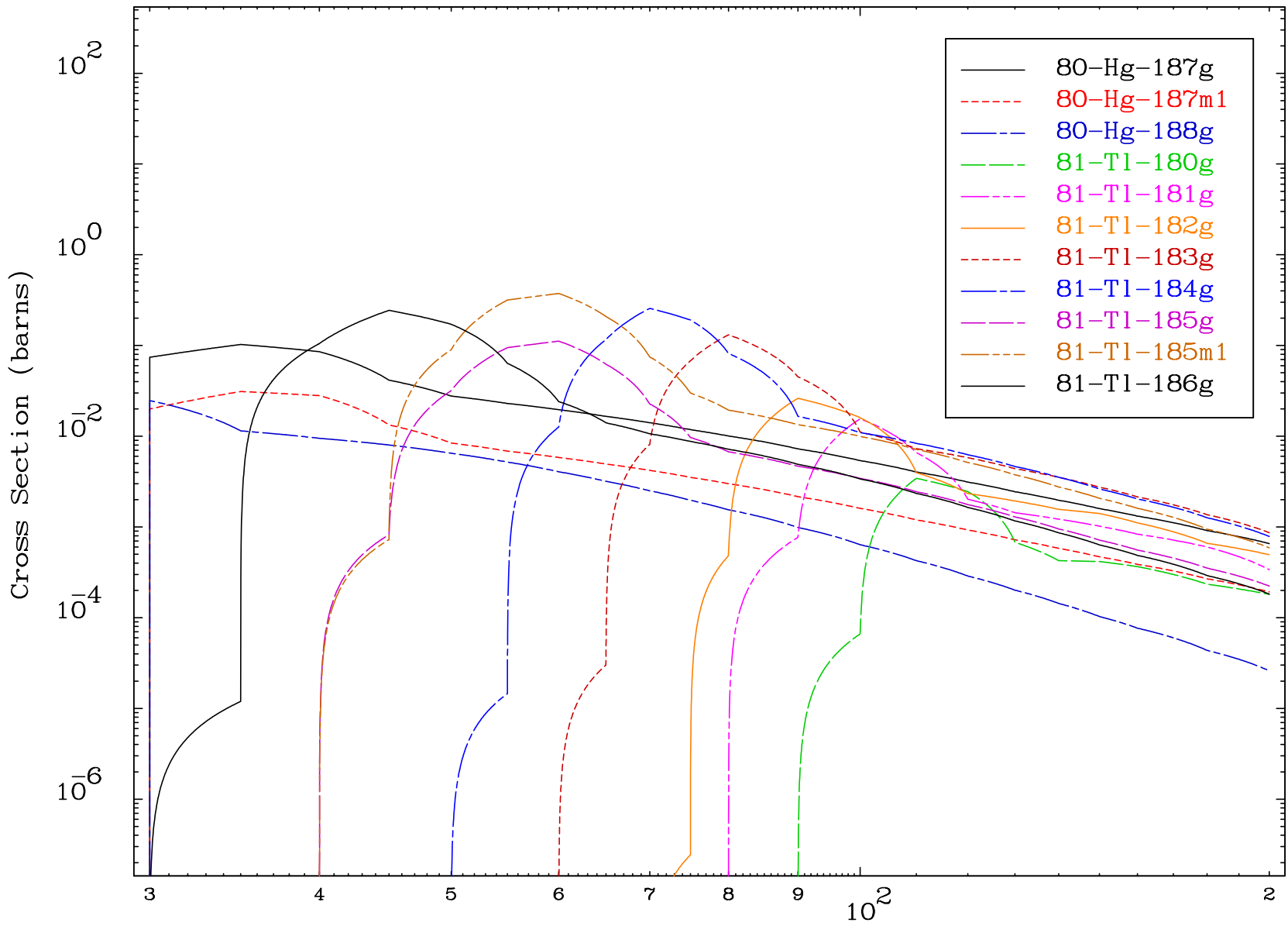
Radionuclide Production Cross Section



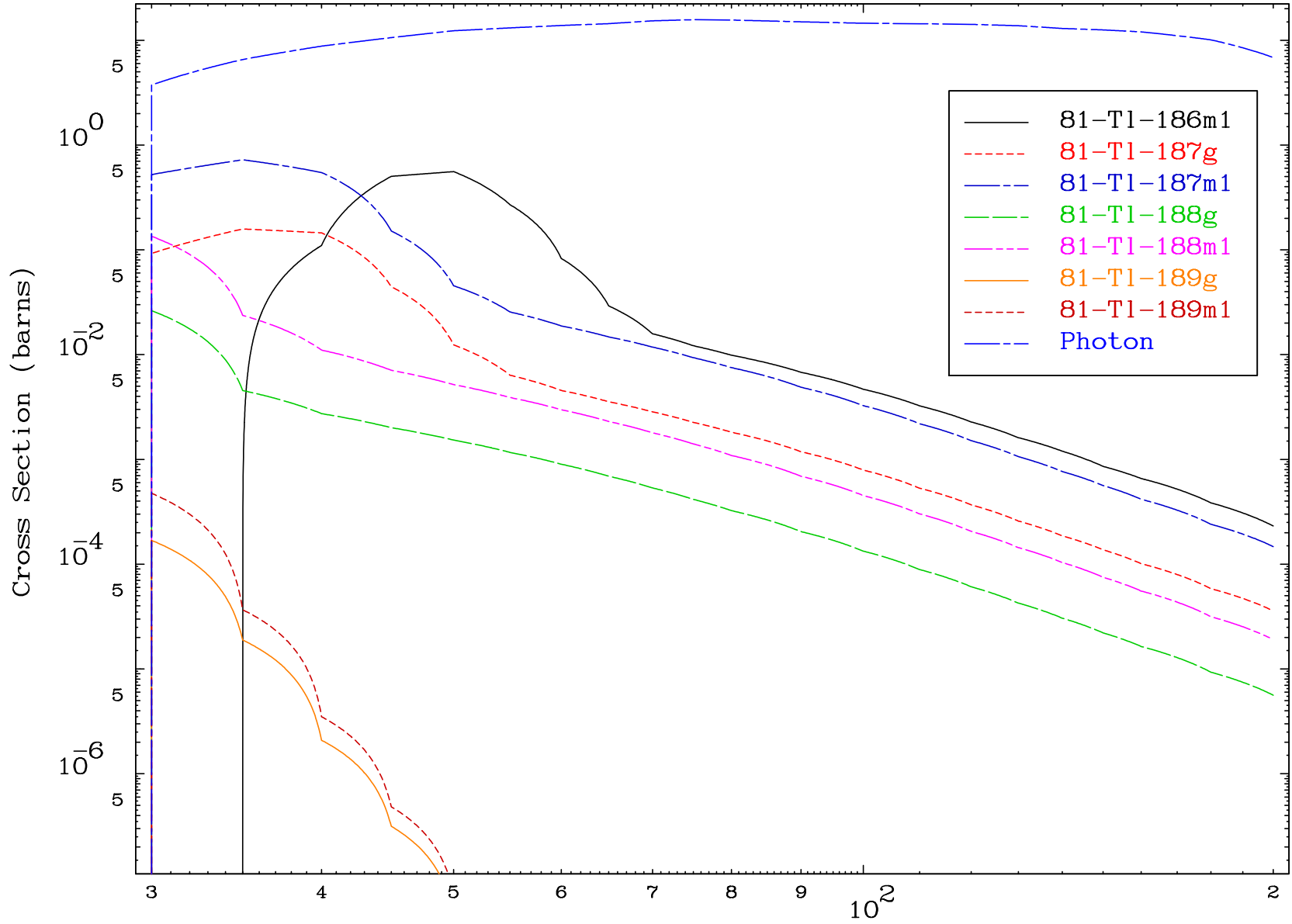
Radionuclide Production Cross Section







Radionuclide Production Cross Section

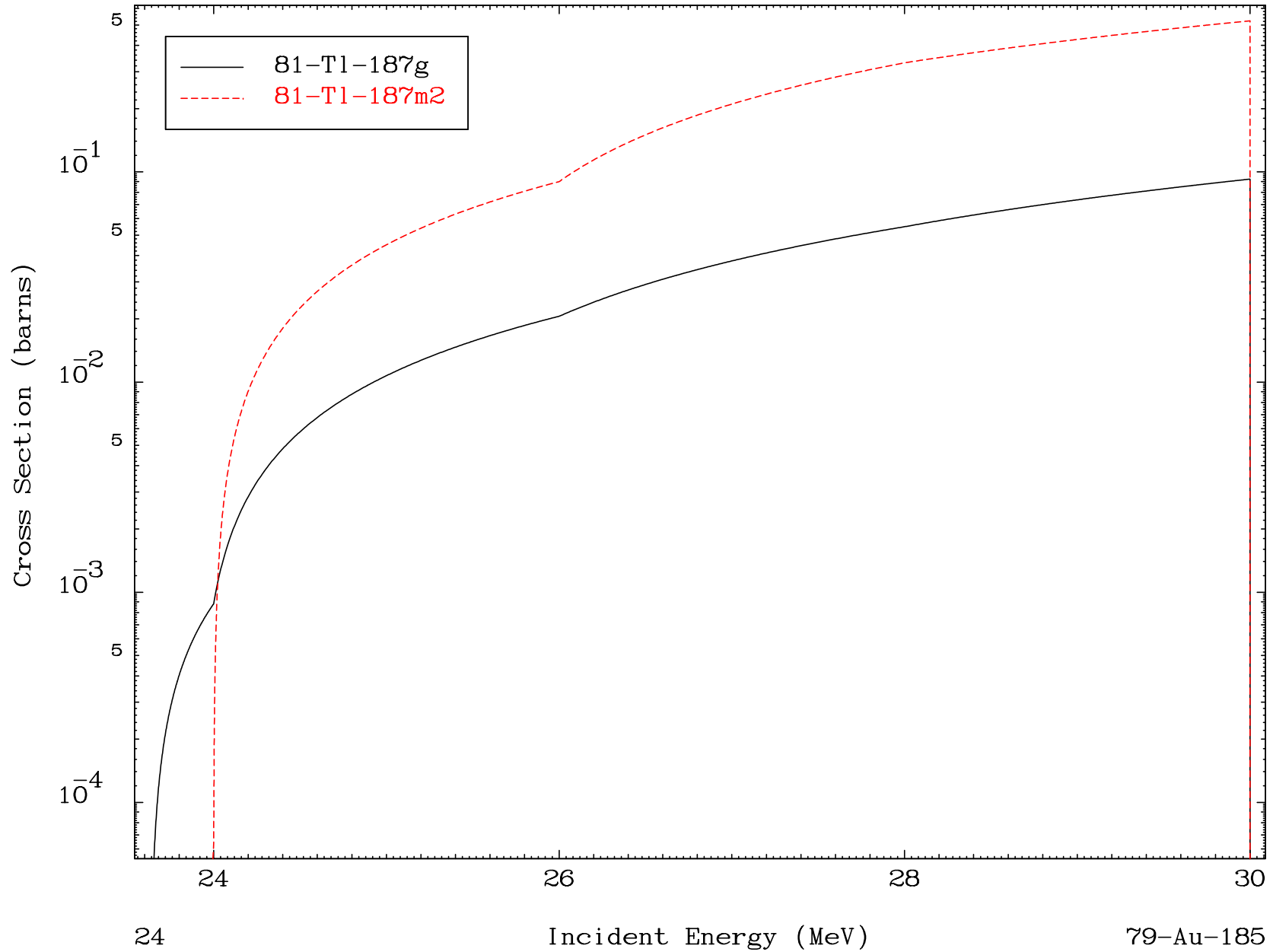


MAT 7889

($\alpha, 2n$)

⁷⁹Au-185

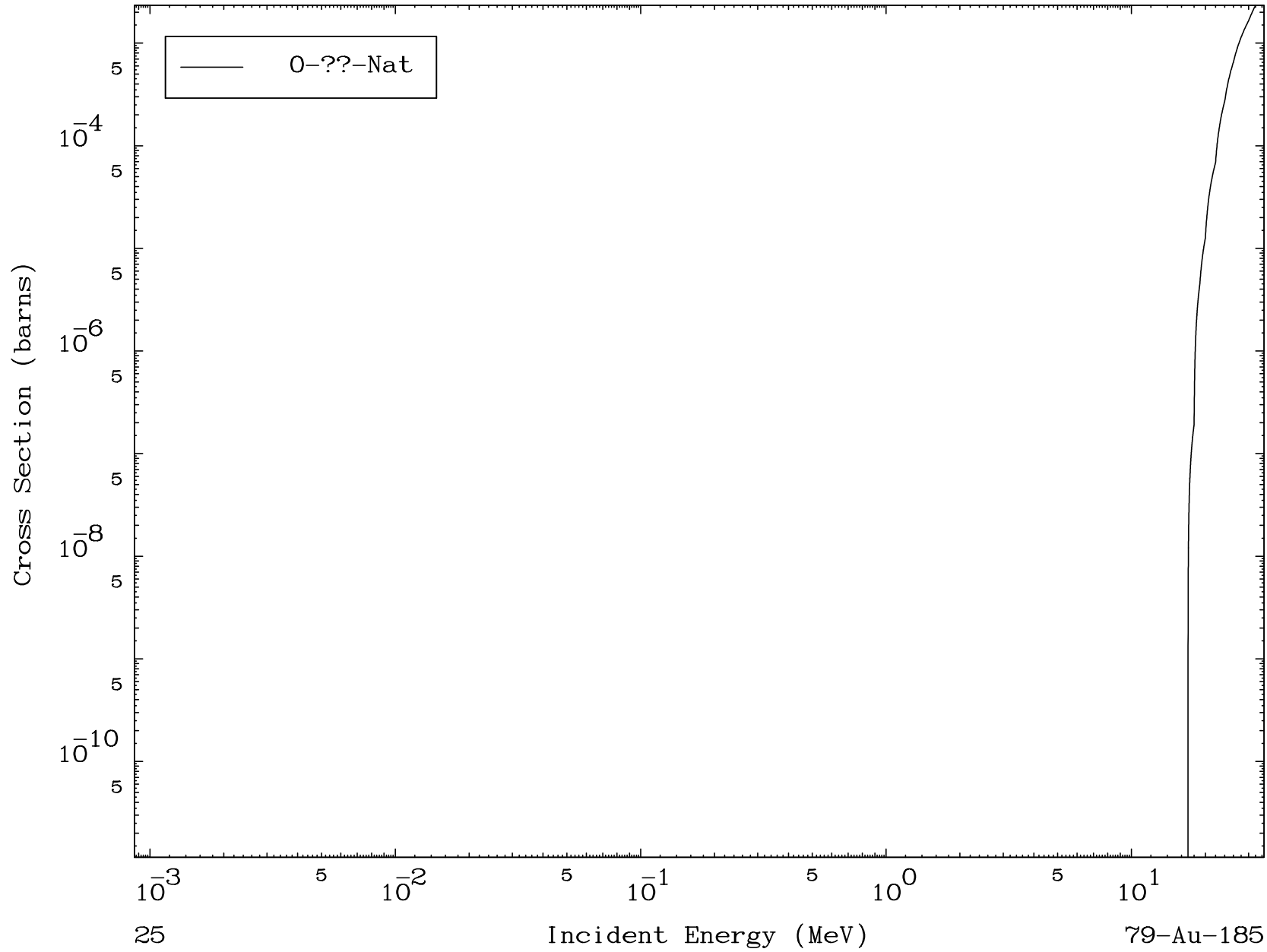
Radionuclide Production Cross Section



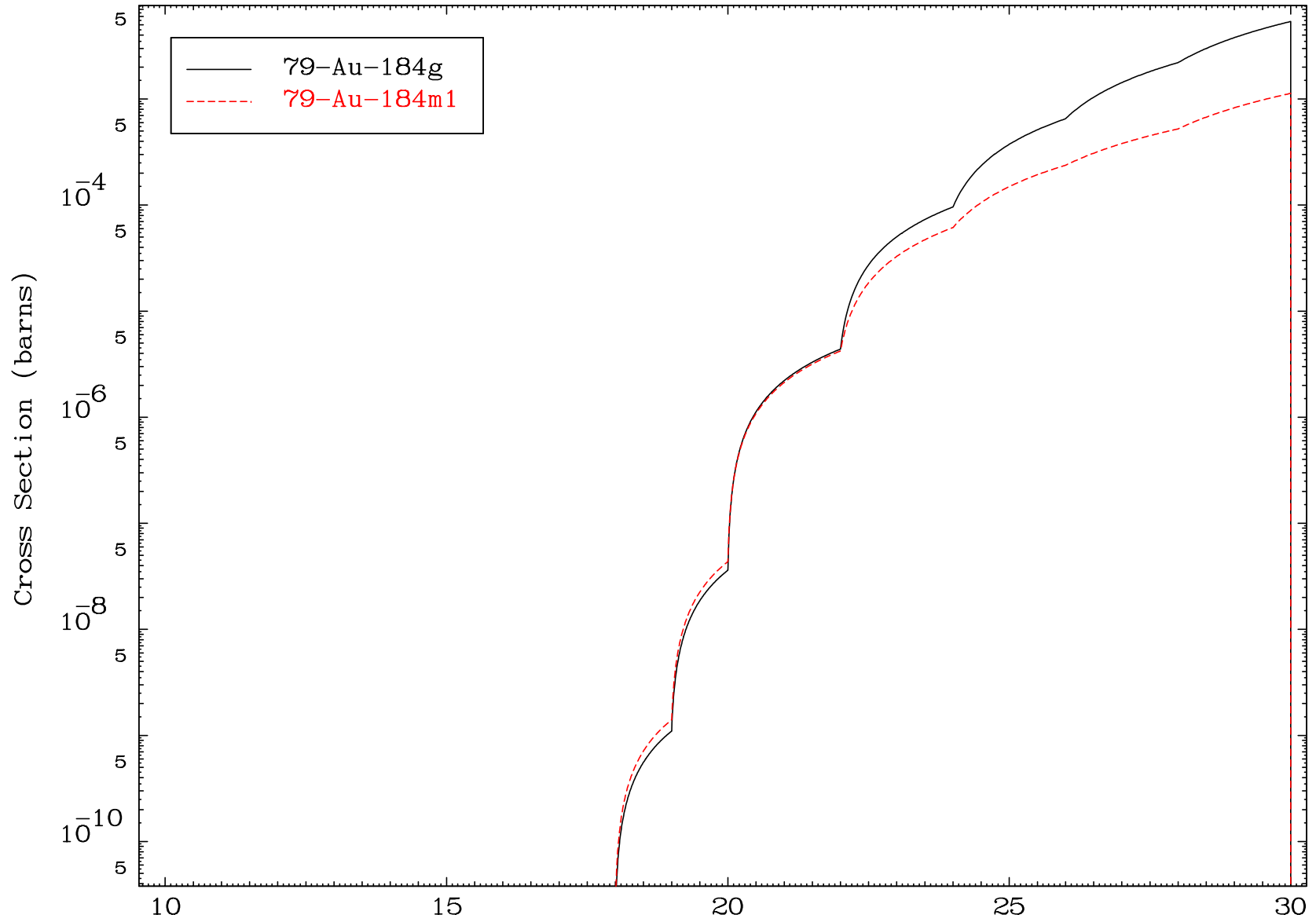
MAT 7889

α Fission
Radionuclide Production Cross Section

⁷⁹Au-185



Radionuclide Production Cross Section

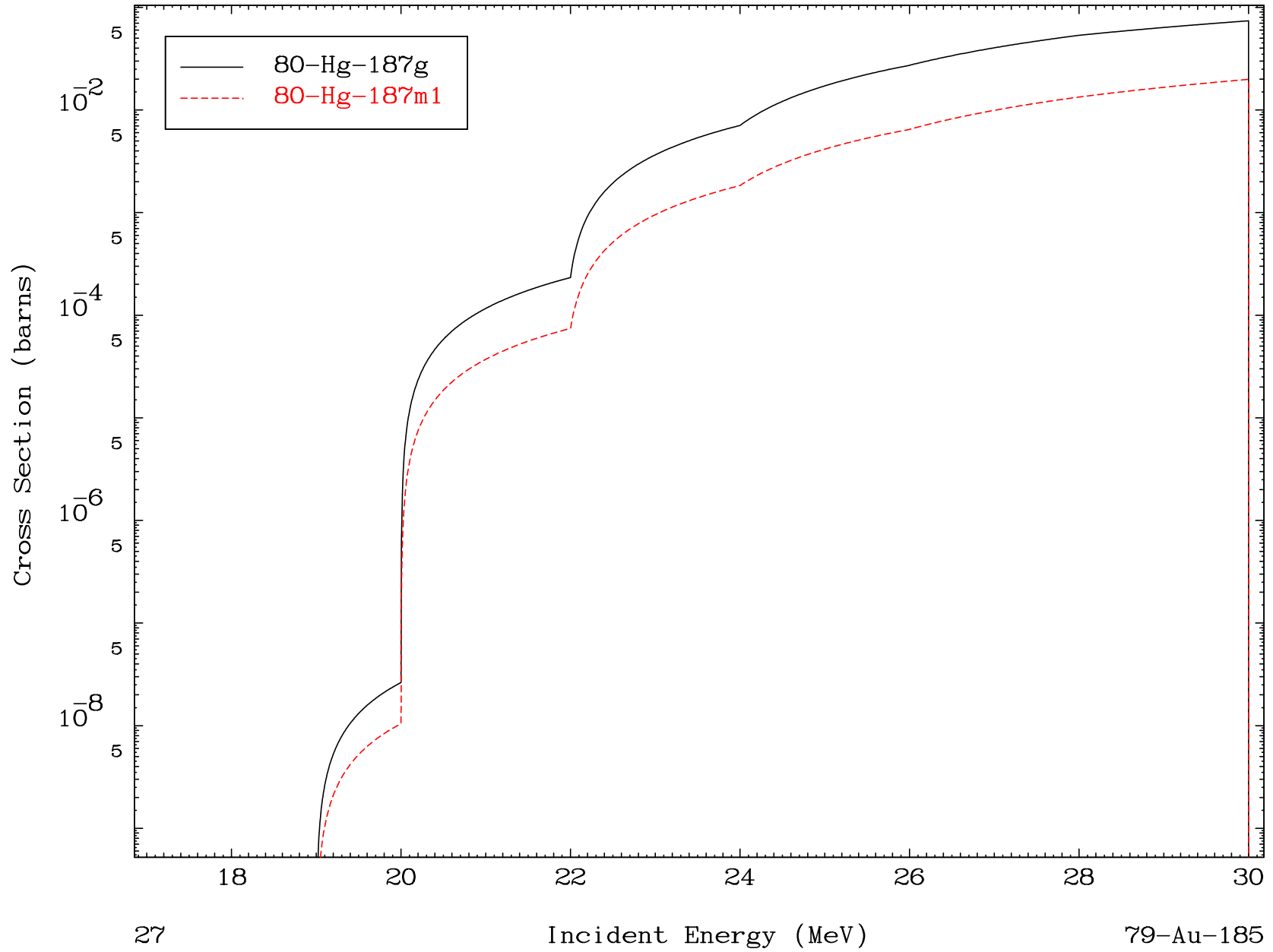


MAT 7889

(α, n') p

79-Au-185

Radionuclide Production Cross Section

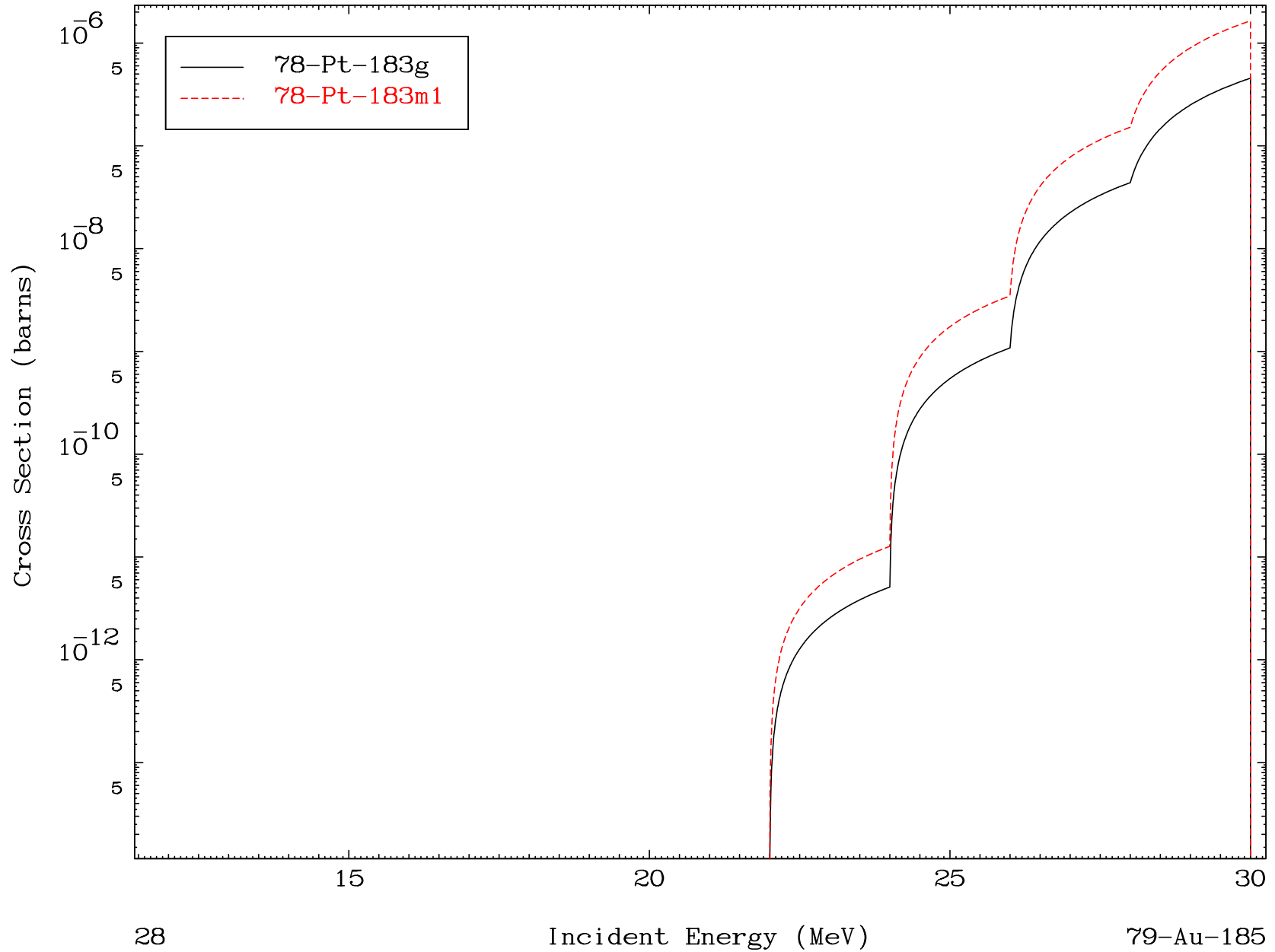


MAT 7889

(α, n') p α

79-Au-185

Radionuclide Production Cross Section

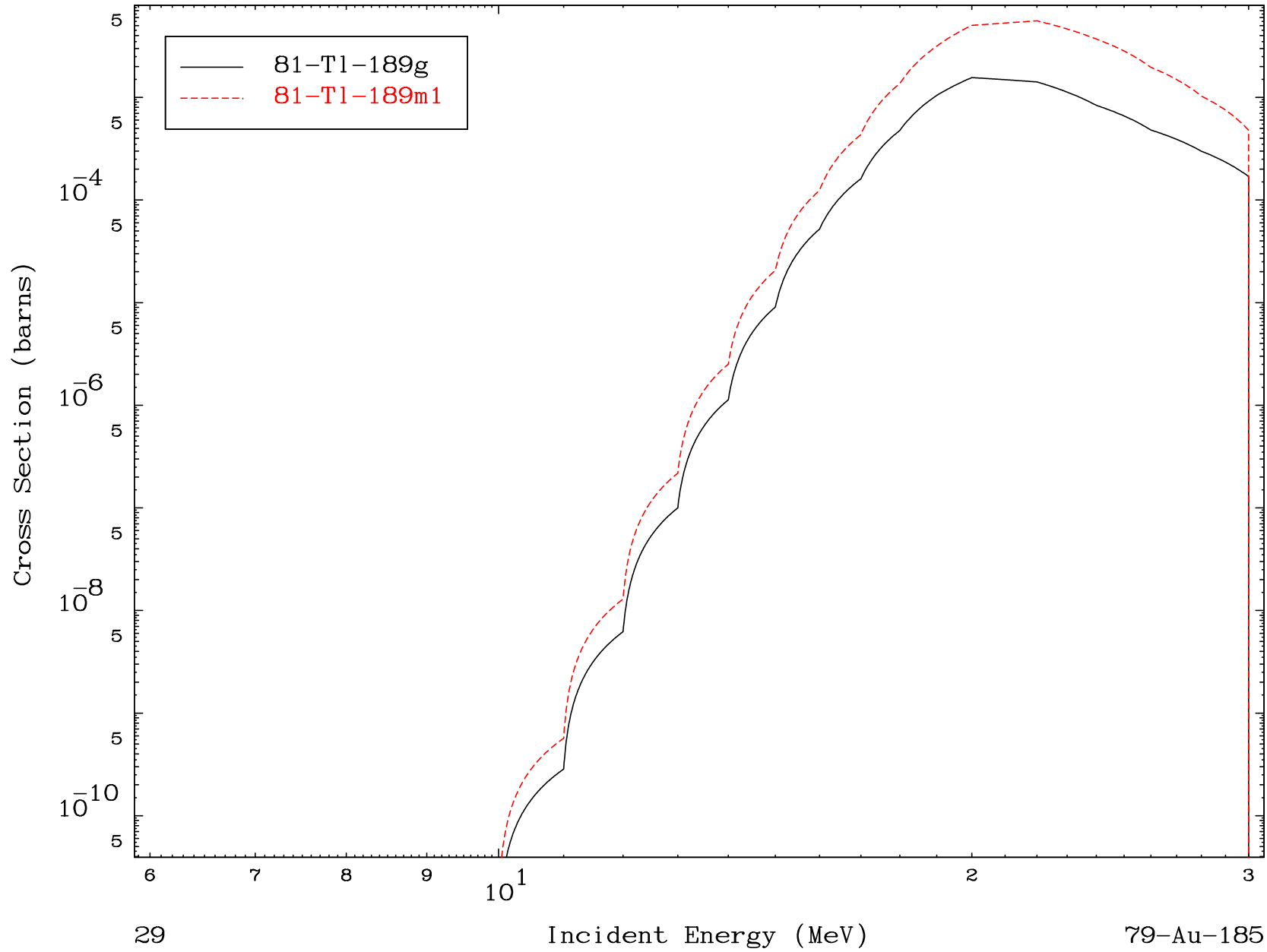


MAT 7889

(α, γ)

79-Au-185

Radionuclide Production Cross Section

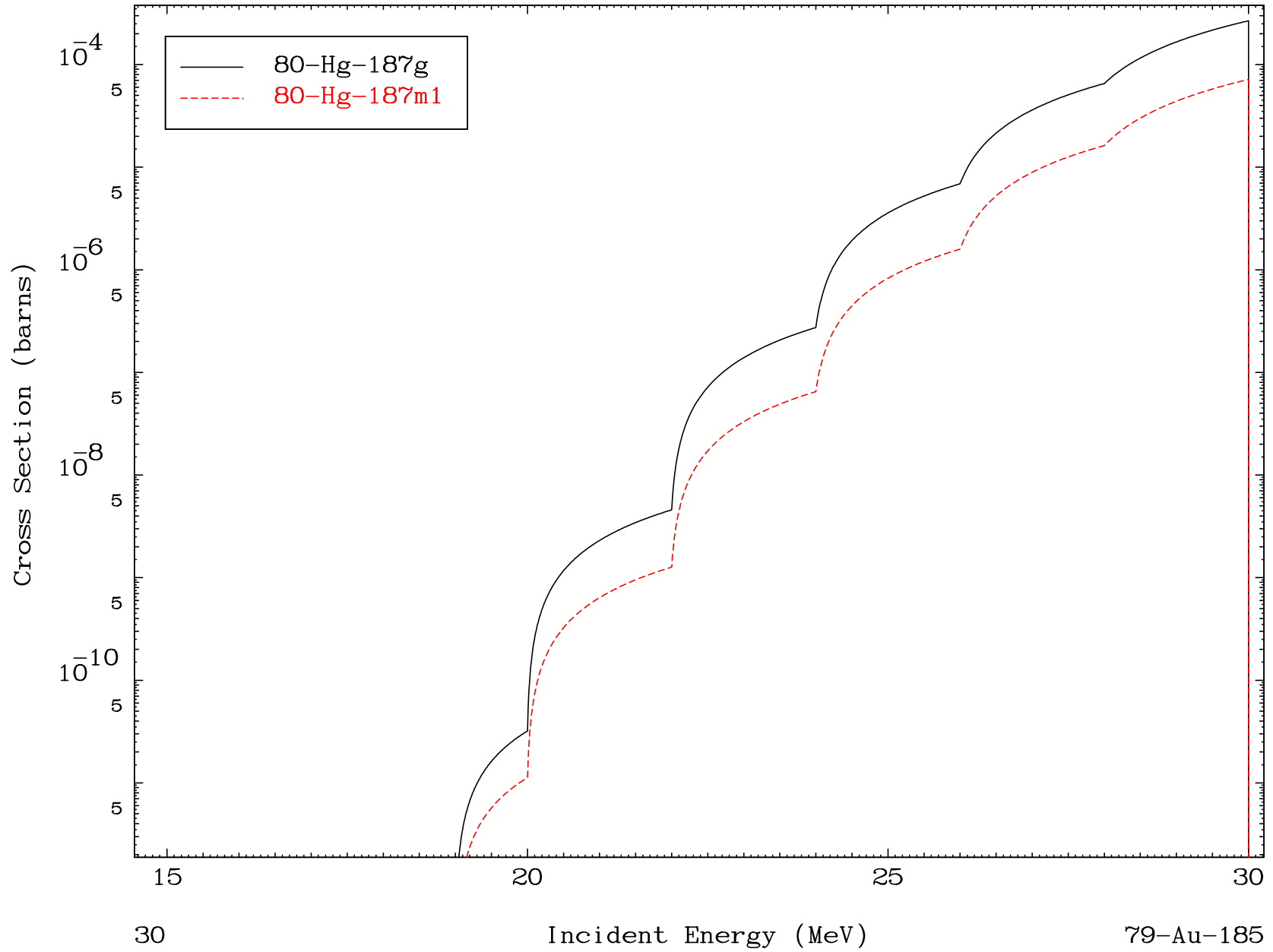


MAT 7889

(α, d)

79-Au-185

Radionuclide Production Cross Section

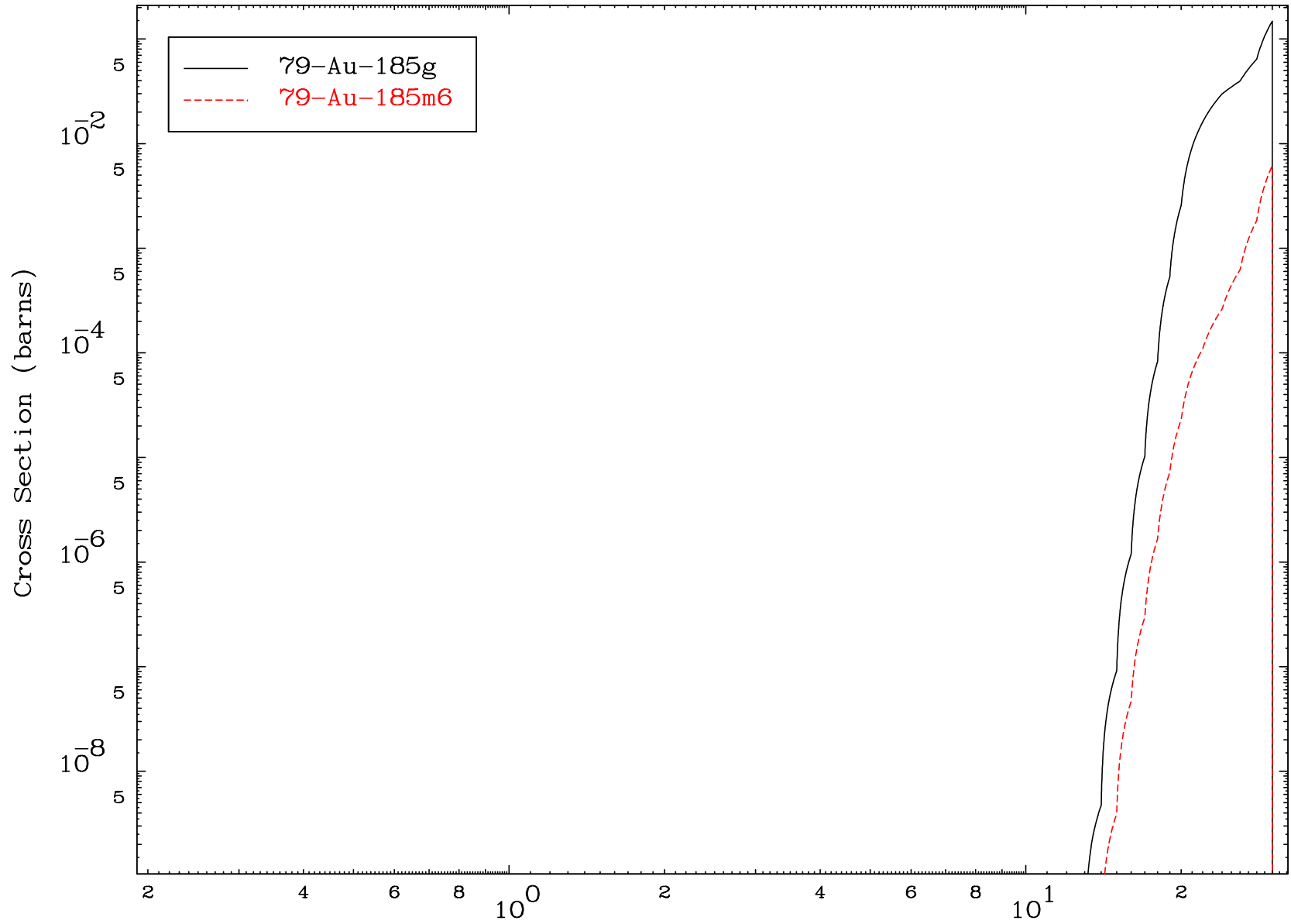


MAT 7889

(α, α)

79-Au-185

Radionuclide Production Cross Section



31

Incident Energy (MeV)

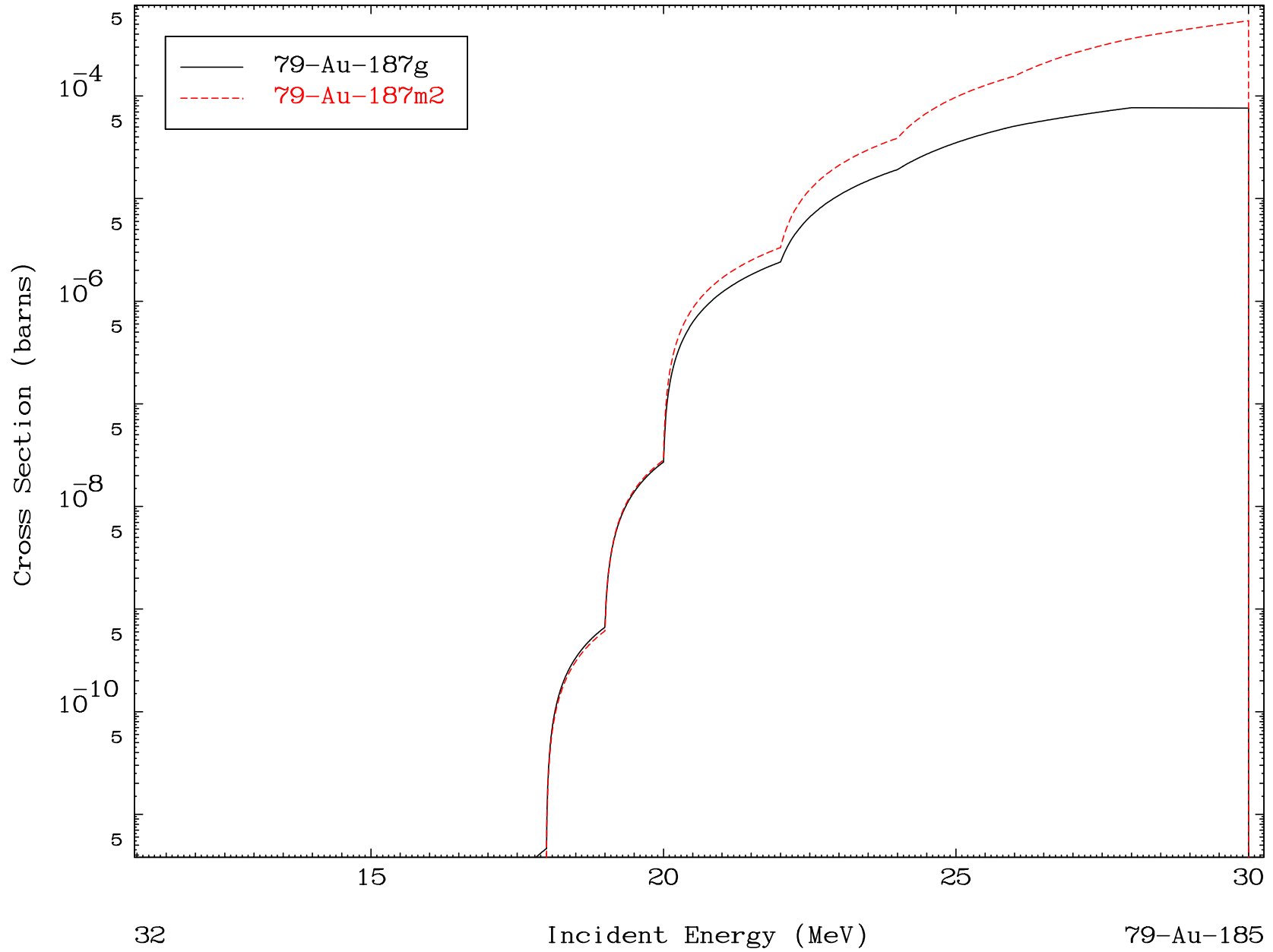
79-Au-185

MAT 7889

($\alpha, 2p$)

⁷⁹Au-185

Radionuclide Production Cross Section

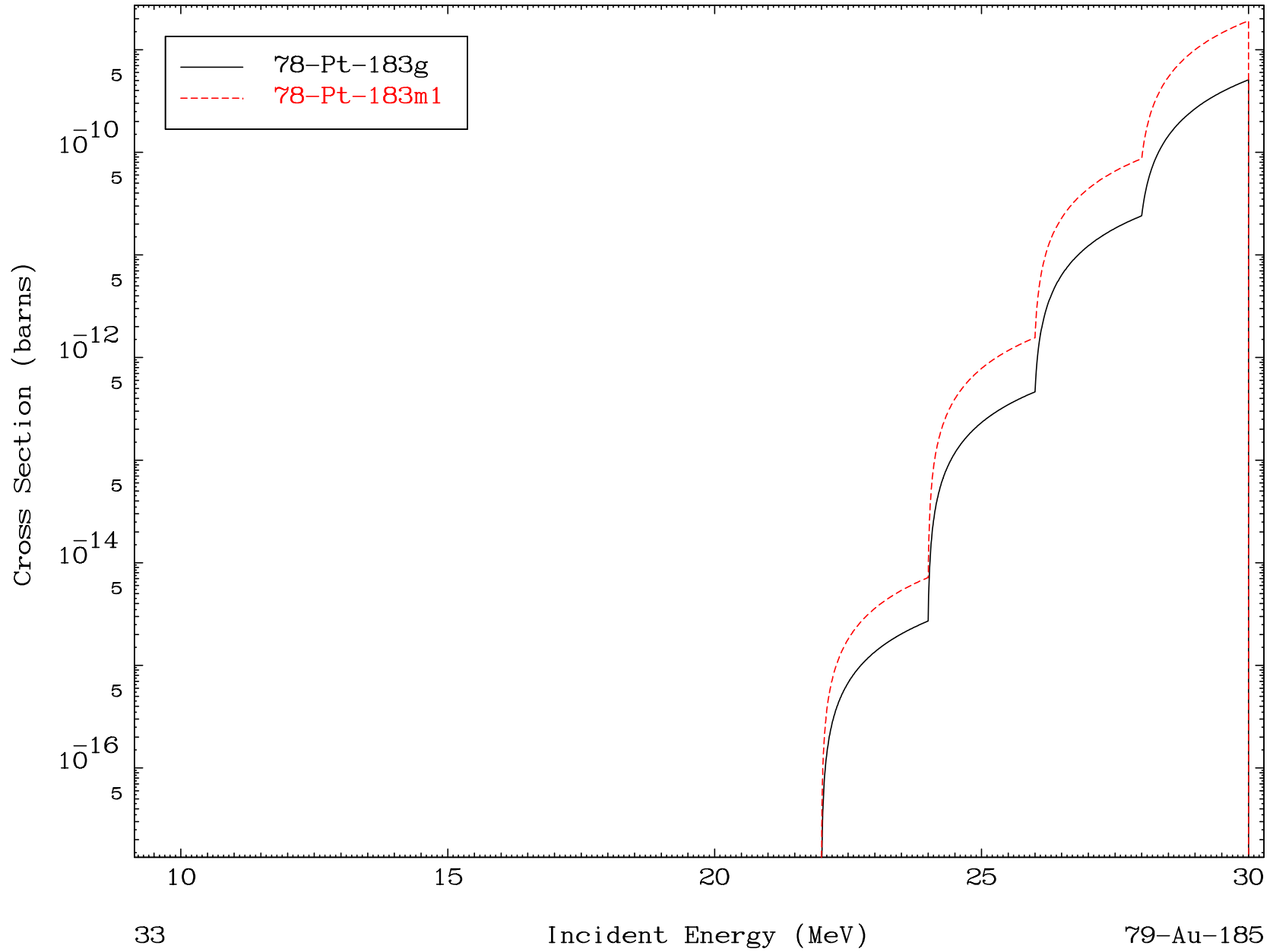


MAT 7889

(α, d) α

79-Au-185

Radionuclide Production Cross Section



33

Incident Energy (MeV)

79-Au-185